

## SPALOVACÍ ZAŘÍZENÍ NA TUHÁ PALIVA

- spalování tuhých paliv probíhá
  - kinetickým vyhoříváním prchavé hořlaviny
  - heterogenními reakcemi na povrchu částic
- klíčovým problémem je transport kyslíku k povrchu částic paliva => reakce vždy rychle přechází do difúzního režimu hoření
- spalovací systémy je možné klasifikovat
  - podle způsobu dopravy paliva do ohniště
  - podle vzduchových poměrů, přesněji podle vzájemného pohybu paliva a okysličovadla

1

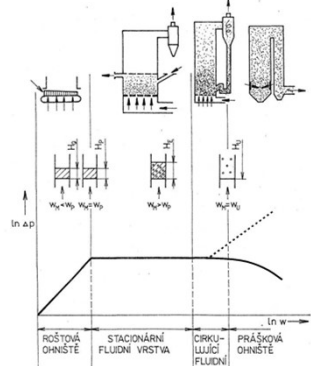
## Druhy spalování podle vzájemného pohybu paliva a okysličovadla

Podle vzájemného pohybu okysličovadla s palivem lze dělit spalování tuhých paliv na

- filtrační - spalování v nehybné vrstvě na roštu,
- fluidní - ve vznosu - (mezní případ mezi spalováním filtračním a v letu)
- v letu - v prostoru - práškové spalování uhlí, (jinak též spalování kapalných i plynných paliv),

2

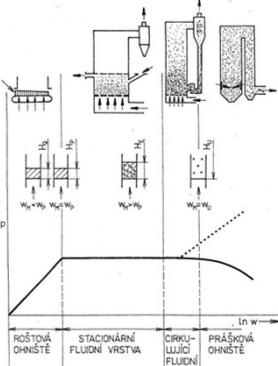
### Klasifikace ohnišť na tuhá paliva



- Spalování filtrační (ve vrstvě)
- $H_0$  je kladová výška vrstvy paliva
  - vrstvou protéká spalovací vzduch
  - rychlosť vzduchu je dána velikostí mezer mezi částicemi vrstvy
  - $w_M$  je tzv. mimovrstvová rychlosť vzduchu
  - s rastoucí rychlosťí  $w_M$  roste rychlosť difuze kyslíku k povrchu částic a rychlosť hoření
  - současně roste odpor vrstvy a tedy tlaková ztráta ve vrstvě  $\Delta p$

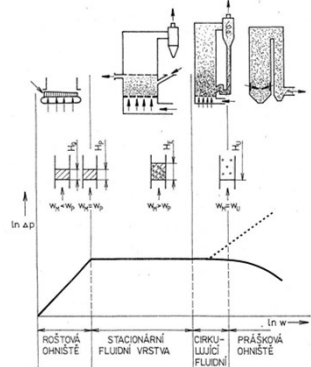
3

### Klasifikace ohnišť na tuhá paliva



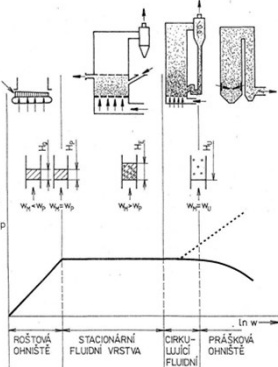
- Spalování ve vznosu (fluidní)
- při dosažení určité rychlosti proudícího vzduchu je dosaženo rovnováhy mezi dynamickým účinkem proudícího vzduchu na částice a gravitační silou = částice se ocítají ve vznosu soustava částic ve vznosu tvorí fluidní vrstvu
  - rychlosť, při níž je tohoto stavu dosaženo, je prahová rychlosť fluidizace  $w_p$ 
    - vytvoří se fluidní vrstva o výšce  $H_p \approx H_0$
    - částice paliva jsou nadále nehybné
  - rychlosť přísnu kyslíku k povrchu částic je dána rychlosťí proudění vzduchu v mezích mezi částicemi

### Klasifikace ohnišť na tuhá paliva



- Spalování ve vznosu (fluidní)
- při dalším zvyšování rychlosťi vzduchu se vytvoří tzv. expandovaná fluidní vrstva o výšce  $H_E$
  - částice se ve vrstvě intenzivně premísťují, což podporuje rychlosť hoření
  - $H_E$  s rastoucí rychlosťí vzduchu mírně narůstá, mezery mezi částicemi se zvětšují, tlaková ztráta příliš neroste
  - je nutné
    - zajistit, že nebude dosaženo teploty měknutí popeloviny, aby nedocházelo k lepování (spékání) částic
    - řešit otázkou únosu jemnějších frakcí z vrstvy - riziko zvýšení nedopalu v letu
  - osvědčeným řešením je zvýšení fluidizační rychlosťí a přechod k cirkulující fluidní vrstvě

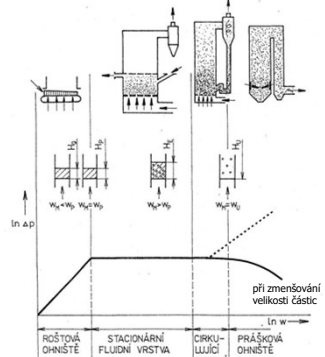
### Klasifikace ohnišť na tuhá paliva



- Spalování ve vznosu (fluidní)
- cirkulující fluidní vrstva = silně expandovaná fluidní vrstva, která zaplní celý objem spalovací komory
  - tím dojde k intenzivnímu odvodu tepla do celého povrchu obvodových stěn spalovací komory a stabilizaci teploty fluidní vrstvy na nízké úrovni
  - část materiálu fluidní vrstvy opouští se spalinami spalovací komory
  - za spalovací komorou musí být zařazen separátor tuhých částic (cyklon), který je zachytí pro zpětný návrat, proto označení cirkulující fluidní vrstva

6

## Klasifikace ohnišť na tuhá paliva



7

## SPALOVACÍ ZAŘÍZENÍ NA TUHÁ PALIVA

### ■ Spalovací zařízení se skládá

- z ohniště (spalovací komory) s roštěm nebo s hořáky
- z pomocných zařízení
  - zařízení k přípravě paliva ke spalování,
  - zařízení k zachycování a odstraňování tuhých zbytků po spalování,
  - z ohříváků spalovacího vzduchu,
  - ze sacích a vzduchových ventilátorů,
  - odlučováků popilku,
  - komína,
  - ofukovačů atd.

8

## Ohniště

- je to prostor vymezený nechlazenými keramickými stěnami a/nebo výhrevnými plochami, v němž se průběžně spaluje požadované množství paliva za účelem uvolnění potřebného toku tepla

Ohniště musí splňovat celou řadu požadavků, z nichž nejdůležitější jsou:

- zajistění dokonalého průběžného spalování přiváděného paliva s optimálním přebytkem spalovacího vzduchu a s nejvyšší možnou účinností při minimální tvorbě škodlivých emisí
- zajistit kontinuální odvod tuhých zbytků po spalování a plynných spalin do dalších částí kotle
- vhodnou konfiguraci výhrevních ploch zajistit vychlazení spalin pod teplotou měknutí popelovin a aby nebyla překročena určitá teplota stěny přehřívákových trubek, popř. nebyly v ohništi místně vysoké teploty

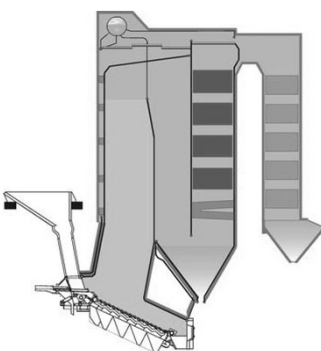
9

## Ohniště

- ohniště musí být těsné, aby při případném přetlaku nevnikaly spaliny do prostoru kotelny a při podtlaku se zbytečně nepřisával řálesný vzduch
- musí umožnit co nejširší palivový program, aniž by vznikly provozní potíže nebo příliš poklesla účinnost kotle
- nesmí docházet k nadmerné tvorbě náносů a korozii, ucpávání průtočných, výpustních a recirkulačních průřezů apod.
- ohniště má mít jednoduchou a účinnou regulaci výkonu v co nejširším rozmezí
- stabilita hoření musí být dobrá jak při stacionárních, tak i při přechodových stavech, jmenovitě v blízkosti minimálního výkonu
- obestavěný objem a půdorysná plocha mají být minimální
- opotřebení jednotlivých částí ohniště opalem, erosí a korozí musí být přiměřené
- ztráty tepla do okolí a cena izolace musí být minimální

10

## Roštové ohniště s přesuvným roštěm

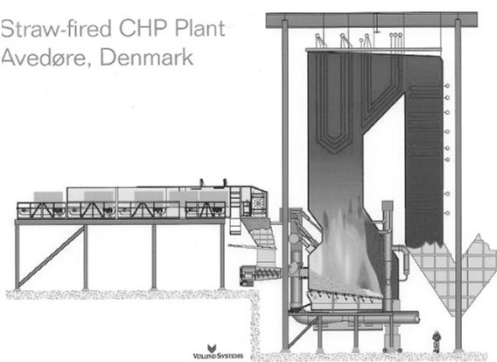


11

- převládající typ ohniště pro výkony do 50 MWt
- palivo se přivádí na rošt z násypky
- odhořívá ve vrstvě filtračním způsobem
- v minulosti převažující technologie pro spalování uhlí
- dnes se uplatňuje při spalování odpadů a biomasy

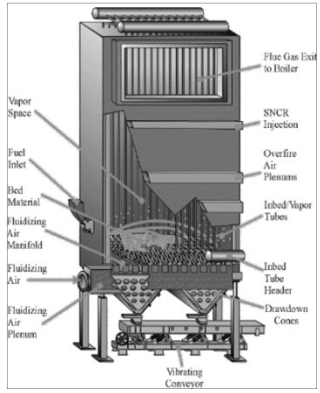
## Roštové ohniště s vibračním roštěm na spalování slámy

Straw-fired CHP Plant  
Avedøre, Denmark



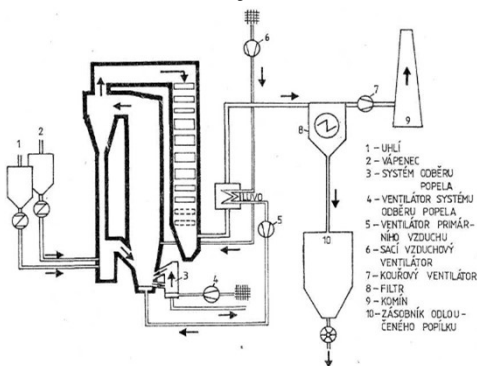
12

### Ohniště se stacionární fluidní vrstvou



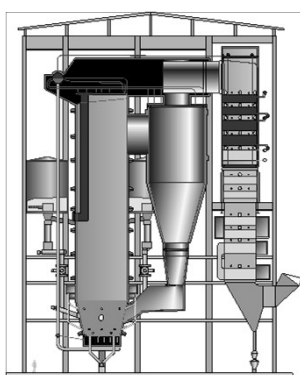
13

### Ohniště s cirkulující fluidní vrstvou



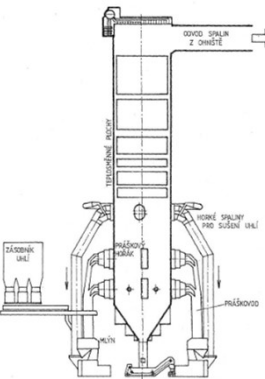
14

### Kotel s ohništěm s cirkulující fluidní vrstvou



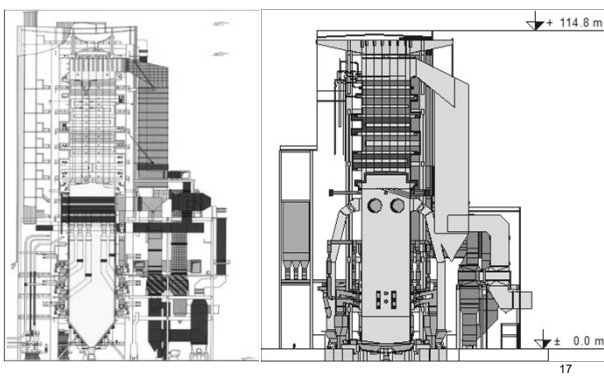
15

### Práškové ohniště



16

### Práškový kotel



17

### Tepelná bilance ohniště

#### ■ teplo přivedené

- teplo uvolněné v ohništi

$$Q_u = Q_{pv} + Q_r \quad [kW]$$

- teplo přivedené v palivu

$$Q_{pv} = M_{pv} \cdot [(1 - Z_N) \cdot Q_i + c_{pv} \cdot t_{pv}] \quad [kW] \quad Z_N - ztráty nedopalem$$

- teplo v ohřátém vzduchu

$$Q_r = M_{pv} \cdot (1 - Z_N) \cdot O_V \cdot c_V \cdot t_V = M_{pv} \cdot (1 - Z_N) \cdot \alpha_o \cdot O_{IV\min} \cdot c_V \cdot t_V = \\ = M_{pv} \cdot (1 - Z_N) \cdot \alpha_o \cdot I_V \quad [kW]$$

- teplo v recirkulovaných spalinách

$$Q_r = r \cdot M_{pv} \cdot (1 - Z_C) \cdot O_{Sr} \cdot c_{Sr} \cdot t_{Sr} = \\ = r \cdot M_{pv} \cdot (1 - Z_C) \cdot [O_{Sr\min} + (\alpha_r - 1) \cdot O_{IV\min}] \cdot c_{Sr} \cdot t_{Sr} = \\ = r \cdot M_{pv} \cdot (1 - Z_C) \cdot I_S^{t_{Sr}, \alpha_r} \quad [kW]$$

součinitel poměrém recirkulace  
r udává podíl recirkulovaných spalin k  
celkovému průtoku v místě odběru

18

## Tepelná bilance ohniště

### ■ teplo odvedené

#### ■ teplo odcházející v plynných spalinách z ohniště

$$\begin{aligned} Q_{ok} &= M_{pv} \cdot (1 - Z_C) \cdot O_{Sok} \cdot c_{Sok} \cdot t_{Sok} = \\ &= M_{pv} \cdot (1 - Z_C) \cdot (1+r) \cdot [O_{SV\min} + (\alpha_{ok}-1) \cdot O_{V\min}] \cdot c_{Sok} \cdot t_{Sok} = \\ &= M_{pv} \cdot (1 - Z_C) \cdot (1+r) \cdot I_{S}^{t_{Sok}, \alpha_{ok}} \quad [kW] \end{aligned}$$

$t_{Sok}$  – teplota spalin na výstupu z ohniště

#### ■ teplo odváděné v tuhých spalinách

$$Q_f = \sum M_{pv} \cdot \frac{A}{1-C_i} \cdot X_i \cdot c_i \cdot t_i \quad [kW]$$

- $i = \text{sk, str, pop}$
- $A [\text{kg/kg}]$  obsah popela v palivu
- $C_i [\text{kg/kg}]$  nespálený uhlík
- $X_i [\text{kg/kg}]$  podíl, který přechází ve škváru, strusku a popílek

19

## Tepelná bilance ohniště

### ■ teplo odvedené

■ teplo předané do stěn ohniště sáláním (konvekce se neuvažuje)

$$Q_{st} = \varepsilon_o \cdot C_o \cdot S_u \cdot (\bar{T}_o^4 - \bar{T}_{st}^4) = \bar{q}_{st} \cdot S_u \quad [kW]$$

kde je

$\varepsilon_o$  – stupeň černosti ohniště

$C_o$  – Stefan-Boltzmannova konstanta

$S_u$  – účinná plocha stěn ohniště

$\bar{T}_o$  – střední teplota spalin v ohništi

$\bar{T}_{st}$  – střední teplota povrchu stěn v ohništi

Z tepelné bilance ohniště lze teplo předané v ohništi do stěn a teplotu odcházejících spalin spočítat

20

## Teplo předané v ohništi

Tepelná bilance ohniště má tvar ( $Q_f$  zanedbáno)

$$\begin{aligned} M_{pv} \cdot (\eta_o \cdot Q_i + c_{pv} \cdot t_{pv}) + M_{pv} \cdot (1 - Z_N) \cdot O_V \cdot c_V \cdot t_V + \\ + M_{pv} \cdot (1 - Z_C) \cdot O_{Sr} \cdot c_{Sr} \cdot t_{Sr} - M_{pv} \cdot (1 - Z_C) \cdot O_{Sok} \cdot c_{Sok} \cdot t_{Sok} = \\ = \varepsilon_o \cdot C_o \cdot S_u \cdot (\bar{T}_o^4 - \bar{T}_{st}^4) = \bar{q}_{st} \cdot S_u \quad [kW] \end{aligned}$$

při poměrné recirkulaci  $r = O_{Sr} / O_S$  a součiniteli přebytku vzdachu v ohništi  $\alpha_o = \text{konst}$ . lze vztah upravit na tvar

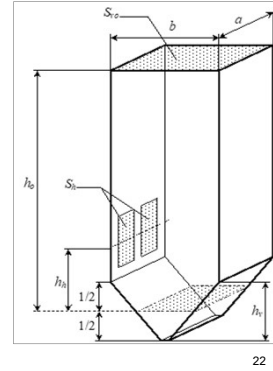
$$\begin{aligned} M_{pv} \cdot [\eta_o \cdot Q_i + c_{pv} \cdot t_{pv} + (1 - Z_N) \cdot O_V \cdot c_V \cdot t_V + \\ + (1 - Z_C) \cdot O_S \cdot \bar{c}_S \cdot [r \cdot t_{Sr} - (1+r) \cdot t_{Sok}]] = \bar{q}_{st} \cdot S_u \quad [kW] \end{aligned}$$

toto je výsledek teoretického řešení úlohy

21

## Návrh velikosti a tvaru ohniště

- návrh velikosti a tvaru ohniště je více méně empirickou záležitostí
- vychází se ze zkušeností zohledňujících
  - výkon kotle
  - druh paliva
  - použitou spalovací technologii
- pro usnadnění návrhu ohniště byla zavedena porovnávací kritéria



22

## Porovnávací kritéria ohniště

### Střední objemové zatížení ohniště

- charakterizuje intenzitu uvolňování tepla v ohništi
- počítá se podle vztahu

$$q_v = \frac{M_{pv} \cdot Q_i^r}{V_o} \quad [kW \cdot m^{-3}]$$

- $M_{pv}$  [kg/s] je množství přivedeného paliva při jmenovitém výkonu kotle,
- $Q_i^r$  [kJ/kg] je výhřevnost paliva
- $V_o$  [ $m^3$ ] je objem spalovací komory.

23

## Střední objemové zatížení ohniště

- klesá
  - s klesajícím výkonom
  - s klesající výhřevností
  - s rostoucím jmenovitým výkonom kotle
- závisí na typu ohniště

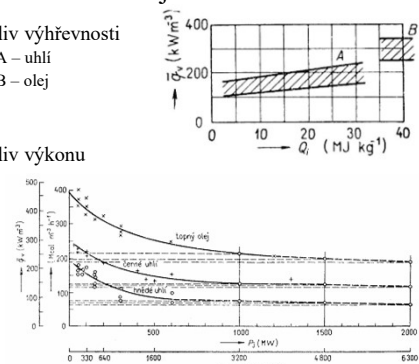
Ohniště	$q_v$ [kW/m <sup>3</sup> ]
Rošťová	100 ÷ 200
Prášková	120 ÷ 250
Olejová	200 ÷ 1000
Plynová	200 ÷ 1000

24

### Střední objemové zatížení ohniště

- vliv výhřevnosti  
A - uhlí  
B - olej

- vliv výkonu



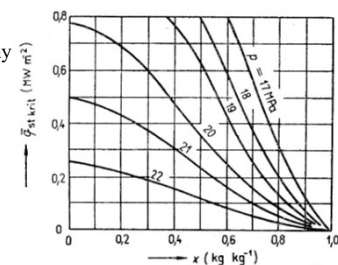
25

### Střední měrný tepelný tok do stěn

$$\bar{q}_{st} = \frac{Q_{st}}{S} \quad [kW \cdot m^{-2}]$$

- vysoký  $q_{st}$  může být příčinou přehřátí materiálu trubek varnic

- nastává var ve filmu  
– horší chlazení stěny
- kritický tok závisí na tlaku

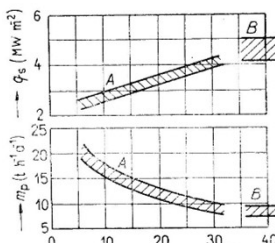


### Měrné průřezové zatížení ohniště Měrný šířkový parní výkon

$$\bar{q}_s = \frac{M_{pv} \cdot Q_i}{S_o} \quad [kW \cdot m^{-2}]$$

$$m_p = \frac{M_{pj}}{a} \quad [t \cdot h^{-1} \cdot m^{-1}]$$

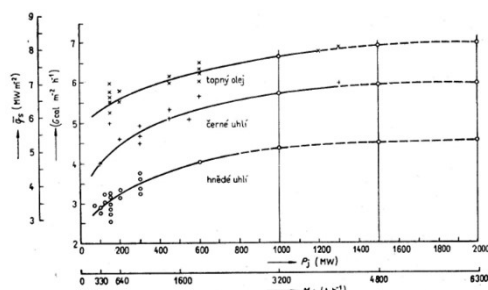
- slouží k navrhování, popř. ke kontrole
  - průřezu S [m]
  - šířky a [m]
- A - uhlí
- B - olej



27

### Měrné průřezové zatížení ohniště

- závislost na výkonu



28

### Ekvivalentní průměr ohniště

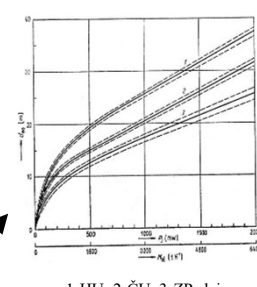
$$d_e = \frac{4 \cdot S_o}{O} \quad [m]$$

- pro průřez ohniště ve tvaru

- čtverce  $d_e = a$
- kruhu  $d_e = d$
- obdélníka

$$d_e = \frac{2 \cdot a \cdot b}{a + b} \quad [m]$$

- $d_e$  musí růst se vzrůstajícím jmenovitým výkonem kotle, aby nedošlo k opalu nebo zaškvárování stěn



29

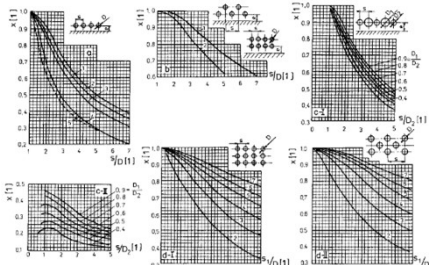
### Velikost výhřevné plochy S umístěné v ohništi

- nemusí být totožná s geometrickým povrchem stěn ohniště  $S_g$
- závisí
  - na součiniteli geometrického uspořádání x
  - na součiniteli zanesení  $\zeta$  (resp. využití)
- účinná sálavá plocha efektivní pro přestup tepla se určí jako

$$S_u = \zeta \cdot S = \zeta \cdot x \cdot S_g \quad [m^2]$$

30

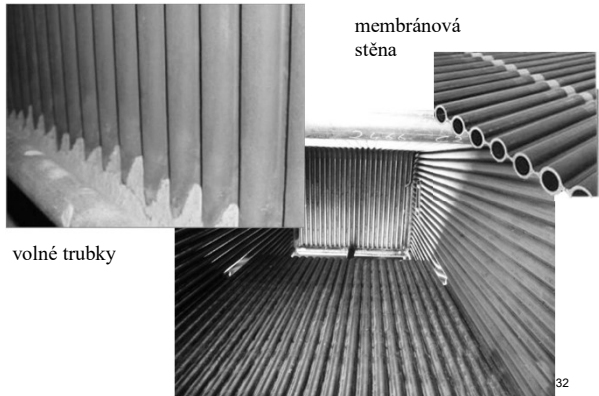
### Velikost výhřevné plochy $S$ umístěné v ohništi součinitel geometrického uspořádání $x$



- a - jednořadá stěna z hladkých trubek : 1 - s vlivem sálání obzdyky pro  $e \geq 1,4 \cdot D$ , 2 - díto pro  $e = 0,8 \cdot D$ , 3 - díto pro  $e = 0,5 \cdot D$ , 4 - díto pro  $e = 0,5$  - bez vlivu sálání obzdyky pro  $e \geq 0,5 \cdot D$
- b - dvouřadá stěna z hladkých trubek : 1 - s vlivem sálání obzdyky pro  $e \geq 1,4 \cdot D$ , 2 - díto pro  $e = 0$
- c - jednořadá stěna z hladkých trubek různého průměru : 1 - pro celou stěnu, II - pro trubky malého průměru
- d - víceradý svazek ( $\varepsilon = 2$  až 7 řad) : I - uspořádání trubek za sebou, II - uspořádání trubek vystřídané

31

### Provedení chlazených stěn kotle

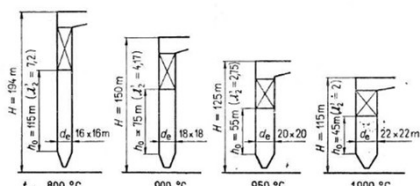


32

### Výška ohniště

$$h_o = \frac{V_o}{S_o} = \frac{\bar{q}_z}{\bar{q}_v} \quad [m]$$

- závisí na
    - jmenovité výkonnosti  $M_{pj}$  (tj. vlastně na  $d_e$ )
    - na vychlazení ohniště - tedy na předaném teple do stěn
    - teplotě spalovacího vzduchu a recirkulaci spalin  $\Rightarrow$  určují  $t_{np}$  a  $t_{ok}$
- Závislost  $h_o$  a  $d_e$  granulačního ohniště na teplotě spalin v místě odchodu z ohniště (blok 600 MW na hnědě uhlí)



33

### Teplota nechlazeného plamene

- vyjde z tepelné bilance ohniště v případě, kdy odvedené teplo do stěn a ve spalinách = 0

$$t_{np} = \frac{\eta_o \cdot Q_i + c_{pv} \cdot t_{pv} + (1 - Z_N) \cdot O_v \cdot c_v \cdot t_v + (1 - Z_C) \cdot r \cdot O_s \cdot c_{sr} \cdot t_{sr}}{(1 - Z_C) \cdot (1 + r) \cdot O_s \cdot c_{so}} \quad [^{\circ}C]$$

kde účinnost ohniště

$$\eta_o = 1 - Z_N - Z_f - Z_{sv}$$

- při zanedbání citelného tepla paliva, rozdílu mezi  $(1 - Z_N)$ ,  $(1 - Z_C)$  a  $\eta_o$  a bez recirkulace spalin platí

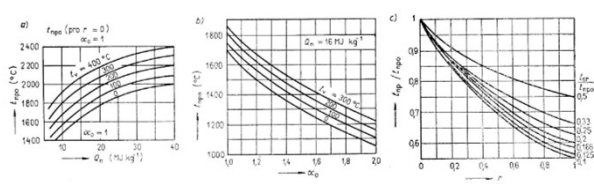
$$t_{np} = \frac{Q_i + O_v \cdot c_v \cdot t_v}{O_s \cdot c_{so}} \quad [^{\circ}C]$$

34

### Teplota nechlazeného plamene

závisí

- na výhřevnosti,
- na teplotě vzduchu, součiniteli přebytku vzduchu v ohništi
- na poměrné recirkulaci a teplotě recirkulovaných spalin



35

### Boltzmannovo číslo

$$Bo = \frac{(1 - Z_C) \cdot M_{pv} \cdot O_s \cdot \bar{c}_s \cdot (1 + r)}{\sigma \cdot S_u \cdot T_{np}^3}$$

- je podobnostní kritérium přenosu tepla v ohništi vytořené pro jeho návrh

■ závisí

- na průtoku spalin
- na jejich střední měrné tepelné kapacitě  $c_s$  ( $J/m^3K$ ) v rozsahu teplot  $t_{np}$  až  $t_{ok}$
- na poměrné recirkulaci spalin do ohniště
- na účinné sálové ploše  $S_u$  ( $m^2$ )
- na univerzální Stefanově - Boltzmannově konstantě  $\sigma = 5,67 \cdot 10^{-8} W/m^2 K^4$
- na teplotě nechlazeného plamene  $T_{np}$  (K)

36

### Teplota spalin na konci ohniště

dosazením Boltzmannova kritéria a bezrozměrných teplot  $\Theta_i = T_i / T_{np}$  ( $i = ok, st, o$ ) do tepelné bilance ohniště získáme vztah

$$\frac{Bo}{\bar{\varepsilon}_o} \cdot (\Theta_o - 1) - \Theta_{ok}^2 - \Theta_{st}^4 = 0$$

řešením vychází teoretická bezrozměrná teplota spalin na konci ohniště

$$\Theta_{ok1,2} = \left( \frac{T_{ok}}{T_{np}} \right)_{1,2} = \frac{Bo}{2 \cdot \bar{\varepsilon}_o} \pm \sqrt{\left( \frac{Bo}{2 \cdot \bar{\varepsilon}_o} \right)^2 + \Theta_{st}^4 + \frac{Bo}{\bar{\varepsilon}_o}}$$

37

### Teplota spalin na konci ohniště

- na základě měření velkého počtu ohnišť zjistil Gurvič experimentální závislost

$$\Theta_{ok} = \frac{Bo^{0,6}}{M \cdot \varepsilon_o^{0,6} + Bo^{0,6}}$$

- $M$  je součinitel respektující výškovou polohu hořáků resp. polohu maximálního tepelného toku

teplota spalin na konci ohniště se pak vypočte jako

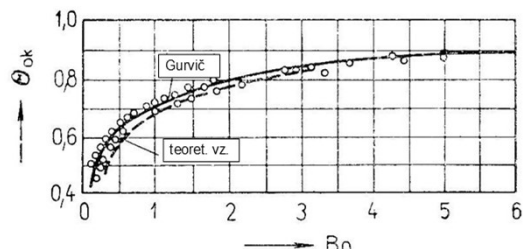
$$t_{ok} = \frac{t_{np} + 273,15}{1 + M \cdot \left( \frac{\varepsilon_o}{Bo} \right)^{0,6}} - 273,15 \quad [^\circ C]$$

vztah lze použít při spalování všech druhů paliv ve všech typech ohnišť s výjimkou fluidních

38

### Teplota spalin na konci ohniště

porovnání výsledků podle teoretického a Gurvičova vztahu



39